# Das variáveis complexas rumo às superfícies mínimas

Ricardo Sá Earp

Departamento de Matemática

#### A linguagem proveniente da Análise Complexa:

Funções holomorfas e aplicações conformes

Seja  $U \subset \mathbb{C}$  um domínio simplesmente conexo do plano complexo  $\mathbb{C} := \{z = x + iy, x, y \in \mathbb{R}\}$ . Dizemos que  $f : U \to \mathbb{C}, z \mapsto f(z)$  uma função complexa definida em U é holomorfa se f possui derivada complexa f'(z) em todos os pontos de U, ou seja o limite

$$f'(z) := \lim_{h \to 0} \frac{f(z+h) - f(z)}{h}$$

existe e é finito para todo  $z \in U$ . Dizemos que f é conforme, se f preserva ângulos orientados. Um fato que pode ser provado via as equações de Cauchy-Riemann, é que f é conforme se e somente se f é holomorfa e  $f'(z) \neq 0$ ,  $\forall z \in U$ .

PLIC-RIO

Seja  $U \subset \mathbb{C}$  um domínio simplesmente conexo do plano complexo  $\mathbb{C} := \{z = x + iy, x, y \in \mathbb{R}\}$ . Dizemos que  $f : U \to \mathbb{C}, z \mapsto f(z)$  uma função complexa definida em U é holomorfa se f possui derivada complexa f'(z) em todos os pontos de U, ou seja o limite

$$f'(z) := \lim_{h \to 0} \frac{f(z+h) - f(z)}{h}$$

existe e é finito para todo  $z \in U$ . Dizemos que f é conforme, se f preserva ângulos orientados. Um fato que pode ser provado via as equações de Cauchy-Riemann, é que f é conforme se e somente se f é holomorfa e  $f'(z) \neq 0$ ,  $\forall z \in U$ .

4□ > 4□ > 4□ > 4□ > 4□ > 4□

Seja  $U \subset \mathbb{C}$  um domínio simplesmente conexo do plano complexo  $\mathbb{C} := \{z = x + iy, x, y \in \mathbb{R}\}$ . Dizemos que  $f: U \to \mathbb{C}, z \mapsto f(z)$  uma função complexa definida em U é holomorfa se f possui derivada complexa f'(z) em todos os pontos de U, ou seja o limite

$$f'(z) := \lim_{h \to 0} \frac{f(z+h) - f(z)}{h}$$

existe e é finito para todo  $z \in U$ . Dizemos que f é conforme, se f preserva ângulos orientados. Um fato que pode ser provado via as equações de Cauchy-Riemann, é que f é conforme se e somente se f é holomorfa e  $f'(z) \neq 0$ ,  $\forall z \in U$ .

Seja  $U \subset \mathbb{C}$  um domínio simplesmente conexo do plano complexo  $\mathbb{C} := \{z = x + iy, x, y \in \mathbb{R}\}$ . Dizemos que  $f: U \to \mathbb{C}, z \mapsto f(z)$  uma função complexa definida em U é holomorfa se f possui derivada complexa f'(z) em todos os pontos de U, ou seja o limite

$$f'(z) := \lim_{h \to 0} \frac{f(z+h) - f(z)}{h}$$

existe e é finito para todo  $z \in U$ . Dizemos que f é conforme, se f preserva ângulos orientados. Um fato que pode ser provado via as equações de Cauchy-Riemann, é que f é conforme se e somente se f é holomorfa e  $f'(z) \neq 0$ ,  $\forall z \in U$ .

Seja  $U \subset \mathbb{C}$  um domínio simplesmente conexo do plano complexo  $\mathbb{C} := \{z = x + iy, x, y \in \mathbb{R}\}$ . Dizemos que  $f : U \to \mathbb{C}, z \mapsto f(z)$  uma função complexa definida em U é holomorfa se f possui derivada complexa f'(z) em todos os pontos de U, ou seja o limite

$$f'(z) := \lim_{h \to 0} \frac{f(z+h) - f(z)}{h}$$

existe e é finito para todo  $z \in U$ . Dizemos que f é conforme, se f preserva ângulos orientados. Um fato que pode ser provado via as equações de Cauchy-Riemann, é que f é conforme se e somente se f é holomorfa e  $f'(z) \neq 0$ ,  $\forall z \in U$ .

Seja  $U \subset \mathbb{C}$  um domínio simplesmente conexo do plano complexo  $\mathbb{C} := \{z = x + iy, x, y \in \mathbb{R}\}$ . Dizemos que  $f : U \to \mathbb{C}, z \mapsto f(z)$  uma função complexa definida em U é holomorfa se f possui derivada complexa f'(z) em todos os pontos de U, ou seja o limite

$$f'(z) := \lim_{h \to 0} \frac{f(z+h) - f(z)}{h}$$

existe e é finito para todo  $z \in U$ . Dizemos que f é conforme, se f preserva ângulos orientados. Um fato que pode ser provado via as equações de Cauchy-Riemann, é que f é conforme se e somente se f é holomorfa e  $f'(z) \neq 0$ ,  $\forall z \in U$ .

(ロ) (部) (注) (注) (注) (2)

Seja  $U \subset \mathbb{C}$  um domínio simplesmente conexo do plano complexo  $\mathbb{C} := \{z = x + iy, x, y \in \mathbb{R}\}$ . Dizemos que  $f : U \to \mathbb{C}, z \mapsto f(z)$  uma função complexa definida em U é holomorfa se f possui derivada complexa f'(z) em todos os pontos de U, ou seja o limite

$$f'(z) := \lim_{h \to 0} \frac{f(z+h) - f(z)}{h}$$

existe e é finito para todo  $z \in U$ . Dizemos que f é conforme, se f preserva ângulos orientados. Um fato que pode ser provado via as equações de Cauchy-Riemann, é que f é conforme se e somente se f é holomorfa e  $f'(z) \neq 0$ ,  $\forall z \in U$ .

(ロ) (部) (注) (注) (注) (2)

Por exemplo, considere a aplicação de Joukowski J(z) dada por  $z \stackrel{J}{\mapsto} 1/2(z+1/z)$ . Note que  $J'(z) = 1/2(1-1/z^2)$ .

Assim, J(z) é holomorfa em  $\mathbb{C}\setminus\{0\}$  e é conforme para  $z\neq\pm 1$ . A aplicação de Joukowski é univalente (injetiva) e aberta no disco unitário perfurado  $B^*=\{0<|z|<1\}$ ; logo J(z) é um mapeamento conforme que leva  $B^*$  conformemente sobre sua imagem  $\mathbb{C}\setminus[-1,1]$ .

Os círculos concêntricos centrados na origem e os raios partindo da origem são levados em elipses e hipérboles cofocais.

Observamos também que J(z) é um mapeamento conforme do semi-plano superior  $H = \{\text{Im} z > 0\}$  sobre  $\mathbb{C} \setminus (-\infty, -1] \cup [1, \infty)$ 

Por exemplo, considere a aplicação de Joukowski J(z) dada por  $z \stackrel{J}{\mapsto} 1/2(z+1/z)$ . Note que  $J'(z) = 1/2(1-1/z^2)$ .

Assim, J(z) é holomorfa em  $\mathbb{C} \setminus \{0\}$  e é conforme para  $z \neq \pm 1$ .

A aplicação de Joukowski é univalente (injetiva) e aberta no disco unitário perfurado  $B^* = \{0 < |z| < 1\}$ ; logo J(z) é um mapeamento conforme que leva  $B^*$  conformemente sobre sua imagem  $\mathbb{C} \setminus [-1,1]$ .

Os círculos concêntricos centrados na origem e os raios partindo da origem são levados em elipses e hipérboles cofocais.

Observamos também que J(z) é um mapeamento conforme do semi-plano superior  $H = \{\text{Im} z > 0\}$  sobre  $\mathbb{C} \setminus (-\infty, -1] \cup [1, \infty]$ 

Por exemplo, considere a aplicação de Joukowski J(z) dada por  $z \stackrel{J}{\mapsto} 1/2(z+1/z)$ . Note que  $J'(z) = 1/2(1-1/z^2)$ .

Assim, J(z) é holomorfa em  $\mathbb{C}\setminus\{0\}$  e é conforme para  $z\neq\pm 1$ . A aplicação de Joukowski é univalente (injetiva) e aberta no disco unitário perfurado  $B^*=\{0<|z|<1\}$ ; logo J(z) é um mapeamento conforme que leva  $B^*$  conformemente sobre sua imagem  $\mathbb{C}\setminus[-1,1]$ .

Os círculos concêntricos centrados na origem e os raios partindo da origem são levados em elipses e hipérboles cofocais.

Observamos também que J(z) é um mapeamento conforme do semi-plano superior  $H = \{\text{Im} z > 0\}$  sobre  $\mathbb{C} \setminus (-\infty, -1] \cup [1, \infty)$ 

Por exemplo, considere a aplicação de Joukowski J(z) dada por  $z \stackrel{J}{\mapsto} 1/2(z+1/z)$ . Note que  $J'(z) = 1/2(1-1/z^2)$ .

Assim, J(z) é holomorfa em  $\mathbb{C}\setminus\{0\}$  e é conforme para  $z\neq\pm 1$ . A aplicação de Joukowski é univalente (injetiva) e aberta no disco unitário perfurado  $B^*=\{0<|z|<1\}$ ; logo J(z) é um mapeamento conforme que leva  $B^*$  conformemente sobre sua imagem  $\mathbb{C}\setminus[-1,1]$ .

Os círculos concêntricos centrados na origem e os raios partindo da origem são levados em elipses e hipérboles cofocais.

Observamos também que J(z) é um mapeamento conforme do semi-plano superior  $H = \{\text{Im} z > 0\}$  sobre  $\mathbb{C} \setminus (-\infty, -1] \cup [1, \infty)$ 

Por exemplo, considere a aplicação de Joukowski J(z) dada por  $z \stackrel{J}{\mapsto} 1/2(z+1/z)$ . Note que  $J'(z) = 1/2(1-1/z^2)$ .

Assim, J(z) é holomorfa em  $\mathbb{C}\setminus\{0\}$  e é conforme para  $z\neq\pm 1$ . A aplicação de Joukowski é univalente (injetiva) e aberta no disco unitário perfurado  $B^*=\{0<|z|<1\}$ ; logo J(z) é um mapeamento conforme que leva  $B^*$  conformemente sobre sua imagem  $\mathbb{C}\setminus[-1,1]$ .

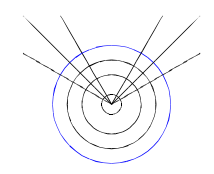
Os círculos concêntricos centrados na origem e os raios partindo da origem são levados em elipses e hipérboles cofocais.

Observamos também que J(z) é um mapeamento conforme do semi-plano superior  $H = \{\text{Im} z > 0\}$  sobre  $\mathbb{C} \setminus (-\infty, -1] \cup [1, \infty)$ .

∢□▶ ∢□▶ ∢ ≧ ▶ ∢ ≧ ▶ ♥ ♀ ♡ ♀ ○

Aplicação de Joukowski:  $z \stackrel{J}{\mapsto} \frac{1}{2}(z + \frac{1}{z})$ 

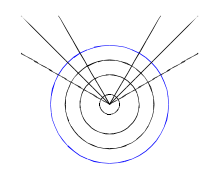
- A família de círculos centrados na origem de raio r > 1 ou r < 1, e raios ortogonais a estes círculos
- enviada respectivamente em elipses e hipérboles cofocais

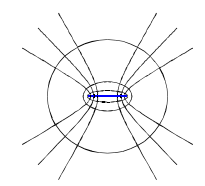




### Aplicação de Joukowski: $z \stackrel{J}{\mapsto} \frac{1}{2}(z + \frac{1}{z})$

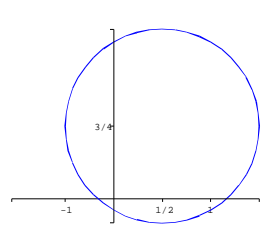
- A família de círculos centrados na origem de raio r > 1 ou r < 1, e raios ortogonais a estes círculos
- enviada respectivamente em elipses e hipérboles cofocais

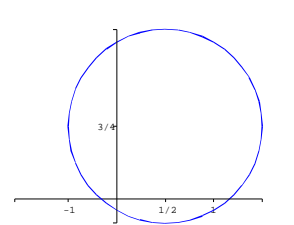


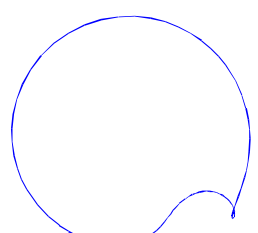


Aplicação de Joukowski: 
$$z \stackrel{J}{\mapsto} \frac{1}{2}(z + \frac{1}{z})$$

Vamos ver agora a imagem do círculo deslocado, de centro (1/2,3/4) e de raio 1 que envolve o ponto singular z=1







PUC-RIO

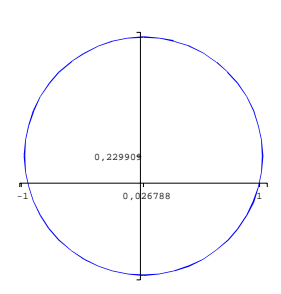
Ricardo Sá Earp

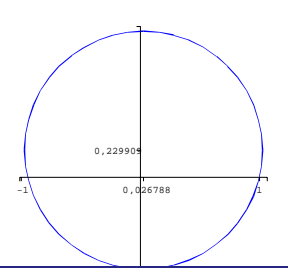
Aplicação de Joukowski:  $z \stackrel{J}{\mapsto} \frac{1}{2}(z + \frac{1}{z})$ 

- Vamos ver agora a imagem de um círculo deslocado, de raio 1 que passa pelo ponto singular z=1
- A transformação de Joukowski tem importância em certas aplicações em aerodinâmica: Perfil de Joukowski, construção de asas de avião.

Aplicação de Joukowski:  $z \stackrel{J}{\mapsto} \frac{1}{2}(z + \frac{1}{z})$ 

- Vamos ver agora a imagem de um círculo deslocado, de raio 1 que passa pelo ponto singular z=1
- A transformação de Joukowski tem importância em certas aplicações em aerodinâmica: Perfil de Joukowski, construção de asas de avião.







PUC-RIO

À toda função  $f:U\to\mathbb{C}$ , (não necessariamente holomorfa) que possui derivadas parciais  $f_x:=\frac{\partial f}{\partial x}$  e  $f_y:=\frac{\partial f}{\partial y}$  (z=x+iy), é costume associar as derivadas com respeito a z e a  $\overline{z}$   $f_z=\frac{1}{2}(f_x-if_y),\ f_{\overline{z}}=\frac{1}{2}(f_x+if_y).$ 

Pode ser facilmente verificado que se f é holomorfa em U, então  $f_{\overline{z}} \equiv 0$ , em U (equações de Cauchy-Riemann). Neste caso, tem-se que  $f'(z) = f_z$ .

Uma função holomorfa f em U, exceto num conjunto de pontos isolados  $\mathcal S$  de U, tal que  $\lim |f(z)| = \infty$ , quando z tende à algum destes pontos isolados é chamado de função meromorfa. Cada ponto de  $\mathcal S$  é chamado de pólo de f. Por exemplo: a função de Joukowski:  $J(z) = \frac{1}{2}(z + \frac{1}{z})$ , possui um pólo na origem, daí é meromorfa em  $\mathbb C$  e holomorfa em  $\mathbb C \setminus \{0\}$ .

∢□▶ ∢□▶ ∢□▶ ∢□▶ ▼□ ♥ ♀⊙

À toda função  $f:U\to\mathbb{C}$ , (não necessariamente holomorfa) que possui derivadas parciais  $f_x:=\frac{\partial f}{\partial x}$  e  $f_y:=\frac{\partial f}{\partial y}$  (z=x+iy), é costume associar as derivadas com respeito a z e a  $\overline{z}$   $f_z=\frac{1}{2}(f_x-if_y),\ f_{\overline{z}}=\frac{1}{2}(f_x+if_y).$ 

Pode ser facilmente verificado que se f é holomorfa em U, então  $f_{\overline{z}} \equiv 0$ , em U (equações de Cauchy-Riemann). Neste caso, tem-se que  $f'(z) = f_z$ .

Uma função holomorfa f em U, exceto num conjunto de pontos isolados  $\mathcal S$  de U, tal que  $\lim |f(z)| = \infty$ , quando z tende à algum destes pontos isolados é chamado de função meromorfa. Cada ponto de  $\mathcal S$  é chamado de pólo de f. Por exemplo: a função de Joukowski:  $J(z) = \frac{1}{2}(z + \frac{1}{z})$ , possui um pólo na origem, daí é meromorfa em  $\mathbb C$  e holomorfa em  $\mathbb C \setminus \{0\}$ .

∢□▶ ∢□▶ ∢□▶ ∢□▶ ▼□ ♥ ♀⊙

À toda função  $f:U\to\mathbb{C}$ , (não necessariamente holomorfa) que possui derivadas parciais  $f_x:=\frac{\partial f}{\partial x}$  e  $f_y:=\frac{\partial f}{\partial y}$  (z=x+iy), é costume associar as derivadas com respeito a z e a  $\overline{z}$   $f_z=\frac{1}{2}(f_x-if_y),\ f_{\overline{z}}=\frac{1}{2}(f_x+if_y).$ 

Pode ser facilmente verificado que se f é holomorfa em U, então  $f_{\overline{z}} \equiv 0$ , em U (equações de Cauchy-Riemann). Neste caso, tem-se que  $f'(z) = f_z$ .

Uma função holomorfa f em U, exceto num conjunto de pontos isolados  $\mathcal S$  de U, tal que  $\lim |f(z)| = \infty$ , quando z tende à algum destes pontos isolados é chamado de função meromorfa. Cada ponto de  $\mathcal S$  é chamado de pólo de f. Por exemplo: a função de

Joukowski:  $J(z) = \frac{1}{2}(z + \frac{1}{z})$ , possui um pólo na origem, daí é meromorfa em  $\mathbb{C}$  e holomorfa em  $\mathbb{C} \setminus \{0\}$ .

4 D > 4 A > 4 B > 4 B > 9 Q C

À toda função  $f:U\to\mathbb{C}$ , (não necessariamente holomorfa) que possui derivadas parciais  $f_x:=\frac{\partial f}{\partial x}$  e  $f_y:=\frac{\partial f}{\partial y}$  (z=x+iy), é costume associar as derivadas com respeito a z e a  $\overline{z}$   $f_z=\frac{1}{2}(f_x-if_y), f_{\overline{z}}=\frac{1}{2}(f_x+if_y).$ 

Pode ser facilmente verificado que se f é holomorfa em U, então  $f_{\overline{z}} \equiv 0$ , em U (equações de Cauchy-Riemann). Neste caso, tem-se que  $f'(z) = f_z$ .

Uma função holomorfa f em U, exceto num conjunto de pontos isolados  $\mathcal S$  de U, tal que  $\lim |f(z)| = \infty$ , quando z tende à algum destes pontos isolados é chamado de função meromorfa. Cada ponto de  $\mathcal S$  é chamado de pólo de f. Por exemplo: a função de Joukowski:  $J(z) = \frac{1}{2}(z+\frac{1}{z})$ , possui um pólo na origem, daí é meromorfa em  $\mathbb C$  e holomorfa em  $\mathbb C\setminus\{0\}$ .

∢□▶ ∢□▶ ∢□▶ ∢□▶ ▼□ ♥ ♀⊙

Por outro lado,  $h(z)=z+\overline{z}^n/n$ ,  $n\in\mathbb{N}^*$  não é uma função holomorfa já que  $h_{\overline{z}}=\overline{z}^{n-1}\not\equiv 0$ . Diferenciando-se h(z) com respeito a z obtém-se que  $h_{z\overline{z}}=0$ .

Note que a se f(z) := u(z) + iv(z),  $u(z), v(z) \in \Re$  é holomorfa, então, sua parte real dada por  $u(z) = \Re f(z) = (f(z) + \overline{f}(z))/2$ , é harmônica, ou seja  $(\Re f(z))_{z\overline{z}} = 0$ , já que

$$(f(z))_{\overline{z}}=0=(\overline{f}(z))_z.$$

Isto leva ao conceito de funções e aplicações harmônicas que é fundamental na Análise Complexa e na Teoria das Superfícies.

Por outro lado,  $h(z)=z+\overline{z}^n/n$ ,  $n\in\mathbb{N}^*$  não é uma função holomorfa já que  $h_{\overline{z}}=\overline{z}^{n-1}\not\equiv 0$ . Diferenciando-se h(z) com respeito a z obtém-se que  $h_{z\overline{z}}=0$ .

Note que a se  $f(z):=u(z)+iv(z),\ u(z),v(z)\in\Re$  é holomorfa, então, sua parte real dada por  $u(z)=\Re f(z)=(f(z)+\overline{f}(z))/2$ , é harmônica, ou seja  $(\Re f(z))_{z\overline{z}}=0$ , já que

$$(f(z))_{\overline{z}}=0=(\overline{f}(z))_z.$$

Isto leva ao conceito de funções e aplicações harmônicas que é fundamental na Análise Complexa e na Teoria das Superfícies.



Por outro lado,  $h(z)=z+\overline{z}^n/n$ ,  $n\in\mathbb{N}^*$  não é uma função holomorfa já que  $h_{\overline{z}}=\overline{z}^{n-1}\not\equiv 0$ . Diferenciando-se h(z) com respeito a z obtém-se que  $h_{z\overline{z}}=0$ .

Note que a se  $f(z):=u(z)+iv(z),\ u(z),v(z)\in\Re$  é holomorfa, então, sua parte real dada por  $u(z)=\Re f(z)=(f(z)+\overline{f}(z))/2$ , é harmônica, ou seja  $(\Re f(z))_{z\overline{z}}=0$ , já que

$$(f(z))_{\overline{z}}=0=(\overline{f}(z))_z.$$

Isto leva ao conceito de funções e aplicações harmônicas que é fundamental na Análise Complexa e na Teoria das Superfícies.

(4日) (部) (注) (注) 注 り(で)

PLIC-RIO

Dizemos que  $h: U \to \mathbb{C}, \ w:=u+iv\mapsto h(w),$  é uma aplicação harmônica.

$$h_{w\bar{w}} = \frac{\partial^2 h}{\partial w \partial \overline{w}} = 0$$

Ou seja,  $\triangle h := h_{uu} + h_{vv} = 0$ , o Laplaciano de h é nulo; assim temos a noção usual de harmonicidade das variáveis complexas. Vimos que a aplicação  $h: B_1(0) \longrightarrow \mathbb{C}, z \mapsto h(z) = z + \overline{z}^n/n, n \in \mathbb{N}^*$  é harmônica. Como também é univalente (injetiva) e aberta dizemos que

w = h(z) é um mapeamento harmônico de  $B_1(0)$  sobre sua imagem, que vem a ser um hipociclóide com n+1 cúspides inscrito no círculo |w| = (n+1)/n. Quando n=2 (três cúspides) obtemos o deltóide, quando n=3 (quatro cúspides) obtemos o astróide.

Aplicações harmônicas de  $U \subset \mathbb{C}$  no plano complexo  $\mathbb{C}$  Dizemos que  $h: U \to \mathbb{C}, \ w := u + iv \mapsto h(w)$ , é uma aplicação harmônica.

$$h_{w\overline{w}} = \frac{\partial^2 h}{\partial w \partial \overline{w}} = 0$$

Ou seja,  $\triangle h := h_{uu} + h_{vv} = 0$ , o Laplaciano de h é nulo; assim temos a noção usual de harmonicidade das variáveis complexas. Vimos que a aplicação  $h: B_1(0) \longrightarrow \mathbb{C}, z \mapsto h(z) = z + \overline{z}^n/n, \ n \in \mathbb{N}^*$  é harmônica. Como também é univalente (injetiva) e aberta dizemos que

w = h(z) é um mapeamento harmônico de  $B_1(0)$  sobre sua imagem, que vem a ser um hipociclóide com n+1 cúspides inscrito no círculo |w| = (n+1)/n. Quando n=2 (três cúspides) obtemos o deltóide, quando n=3 (quatro cúspides) obtemos o astróide.

Aplicações harmônicas de  $U \subset \mathbb{C}$  no plano complexo  $\mathbb{C}$  Dizemos que  $h: U \to \mathbb{C}, \ w := u + iv \mapsto h(w)$ , é uma aplicação harmônica.

$$h_{w\overline{w}} = \frac{\partial^2 h}{\partial w \partial \overline{w}} = 0$$

Ou seja,  $\triangle h := h_{uu} + h_{vv} = 0$ , o Laplaciano de h é nulo; assim temos a noção usual de harmonicidade das variáveis complexas. Vimos que a aplicação  $h: B_1(0) \longrightarrow \mathbb{C}, z \mapsto h(z) = z + \overline{z}^n/n, \ n \in \mathbb{N}^*$  é harmônica. Como também é univalente (injetiva) e aberta dizemos que

w = h(z) é um mapeamento harmônico de  $B_1(0)$  sobre sua imagem, que vem a ser um hipociclóide com n+1 cúspides inscrito no círculo |w| = (n+1)/n. Quando n=2 (três cúspides) obtemos o deltóide, quando n=3 (quatro cúspides) obtemos o astróide.

Aplicações harmônicas de  $U \subset \mathbb{C}$  no plano complexo  $\mathbb{C}$  Dizemos que  $h: U \to \mathbb{C}, \ w := u + iv \mapsto h(w)$ , é uma aplicação harmônica.

$$h_{w\overline{w}} = \frac{\partial^2 h}{\partial w \partial \overline{w}} = 0$$

Ou seja,  $\triangle h := h_{uu} + h_{vv} = 0$ , o Laplaciano de h é nulo; assim temos a noção usual de harmonicidade das variáveis complexas. Vimos que a aplicação  $h: B_1(0) \longrightarrow \mathbb{C}, z \mapsto h(z) = z + \overline{z}^n/n, n \in \mathbb{N}^*$  é harmônica. Como também é univalente (injetiva) e aberta dizemos que

w = h(z) é um mapeamento harmônico de  $B_1(0)$  sobre sua imagem, que vem a ser um hipociclóide com n+1 cúspides inscrito no círculo |w| = (n+1)/n. Quando n=2 (três cúspides) obtemos o deltóide, quando n=3 (quatro cúspides) obtemos o astróide.

Ricardo Sá Earp

Dizemos que  $h:U\to\mathbb{C},\ w:=u+iv\mapsto h(w),$  é uma aplicação harmônica.

$$h_{w\overline{w}} = \frac{\partial^2 h}{\partial w \partial \overline{w}} = 0$$

Ou seja,  $\triangle h := h_{uu} + h_{vv} = 0$ , o Laplaciano de h é nulo; assim temos a noção usual de harmonicidade das variáveis complexas. Vimos que a aplicação  $h: B_1(0) \longrightarrow \mathbb{C}, z \mapsto h(z) = z + \overline{z}^n/n, \ n \in \mathbb{N}^*$  é harmônica.

w = h(z) é um mapeamento harmônico de  $B_1(0)$  sobre sua imagem, que vem a ser um hipociclóide com n+1 cúspides inscrito no círculo |w| = (n+1)/n. Quando n=2 (três cúspides) obtemos o deltóide, quando n=3 (quatro cúspides) obtemos o astróide.

マロトマラトマミトマミトマミトマミトマミトマミトマミトマミトマミトマミア PUC-RIO

Dizemos que  $h: U \to \mathbb{C}, \ w:=u+iv \mapsto h(w),$  é uma aplicação harmônica.

$$h_{w\overline{w}} = \frac{\partial^2 h}{\partial w \partial \overline{w}} = 0$$

Ou seja,  $\triangle h := h_{uu} + h_{vv} = 0$ , o Laplaciano de h é nulo; assim temos a noção usual de harmonicidade das variáveis complexas. Vimos que a aplicação

 $h: B_1(0) \longrightarrow \mathbb{C}, z \mapsto h(z) = z + \overline{z}^n/n, n \in \mathbb{N}^*$  é harmônica.

w = h(z) é um mapeamento harmônico de  $B_1(0)$  sobre sua imagem, que vem a ser um hipociclóide com n+1 cúspides inscrito no círculo |w| = (n+1)/n. Quando n=2 (três cúspides) obtemos o deltóide, quando n=3 (quatro cúspides) obtemos o astróide.

PLIC-RIO

Ricardo Sá Earp

Dizemos que  $h: U \to \mathbb{C}, \ w := u + iv \mapsto h(w)$ , é uma aplicação harmônica.

$$h_{w\overline{w}} = \frac{\partial^2 h}{\partial w \partial \overline{w}} = 0$$

Ou seja,  $\triangle h := h_{uu} + h_{vv} = 0$ , o Laplaciano de h é nulo; assim temos a noção usual de harmonicidade das variáveis complexas. Vimos que a aplicação  $h: B_1(0) \longrightarrow \mathbb{C}, z \mapsto h(z) = z + \overline{z}^n/n, \ n \in \mathbb{N}^*$  é harmônica. Como também é univalente (injetiva) e aberta dizemos que

w=h(z) é um mapeamento harmônico de  $B_1(0)$  sobre sua imagem, que vem a ser um hipociclóide com n+1 cúspides inscrito no círculo |w|=(n+1)/n. Quando n=2 (três cúspides) obtemos o deltóide, quando n=3 (quatro cúspides) obtemos o astróide.

### Aplicações harmônicas de $U\subset\mathbb{C}$ no plano complexo $\mathbb{C}$

Dizemos que  $h: U \to \mathbb{C}, \ w := u + iv \mapsto h(w)$ , é uma aplicação harmônica.

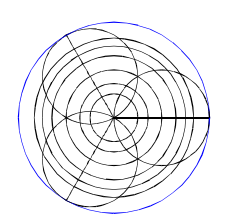
$$h_{w\overline{w}} = \frac{\partial^2 h}{\partial w \partial \overline{w}} = 0$$

Ou seja,  $\triangle h := h_{uu} + h_{vv} = 0$ , o Laplaciano de h é nulo; assim temos a noção usual de harmonicidade das variáveis complexas. Vimos que a aplicação  $h: B_1(0) \longrightarrow \mathbb{C}, z \mapsto h(z) = z + \overline{z}^n/n, \ n \in \mathbb{N}^*$  é harmônica. Como também é univalente (injetiva) e aberta dizemos que

w = h(z) é um mapeamento harmônico de  $B_1(0)$  sobre sua imagem, que vem a ser um hipociclóide com n+1 cúspides inscrito no círculo |w| = (n+1)/n. Quando n=2 (três cúspides) obtemos o deltóide, quando n=3 (quatro cúspides) obtemos o astróide.

### Mapeamento harmônico do **disco unitário** no interior do deltóide: $z \mapsto z + \overline{z}^2/2$

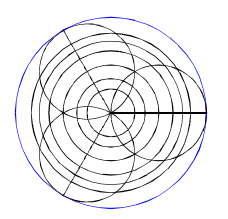
▶ Disco unitário, desenhados, os semi-eixos em  $\theta = 0, 2\pi/3, 4\pi/3$ , círculos concêntricos e outros círculos centrados nos eixos.

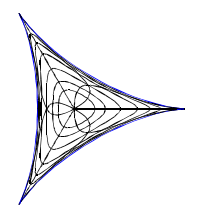


40 40 40 40 40 000

Sua imagem, por  $z\mapsto z+\overline{z}^2/2$ , é o interior do deltóide

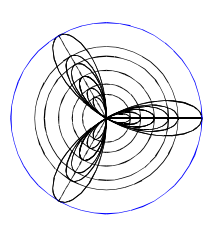






### Mapeamento harmônico do **disco unitário** no interior do deltóide: $z \mapsto z + \overline{z}^2/2$

▶ Disco unitário, desenhados, os semi-eixos em  $\theta = 0, 2\pi/3, 4\pi/3,$ 



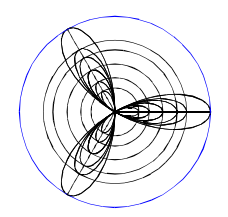
círculos concêntricos e rosáceas.

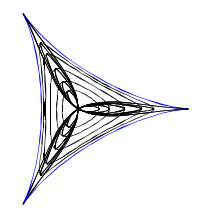
CITCUIOS COILCEILLICOS e TOSACEAS.

Ricardo Sá Earp

Sua imagem, por  $z\mapsto z+\overline{z}^2/2,$  é o interior do deltóide

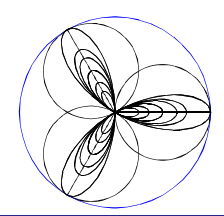






### Mapeamento harmônico do **disco unitário** no interior do deltóide: $z \mapsto z + \overline{z}^2/2$

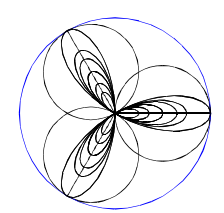
Disco unitário e sua imagem, desenhados, os semi-eixos em  $\theta = 0, 2\pi/3, 4\pi/3$ , rosáceas e outros círculos centrados nos eixos.

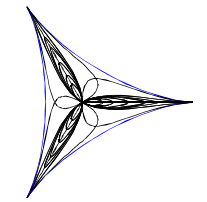


40 40 40 40 40 000

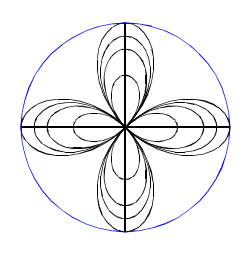
#### Mapeamento harmônico do **disco unitário** no interior do deltóide: $z \mapsto z + \overline{z}^2/2$

▶ Disco unitário e sua imagem, desenhados, os semi-eixos em  $\theta = 0, 2\pi/3, 4\pi/3$ , rosáceas e outros círculos centrados nos eixos.





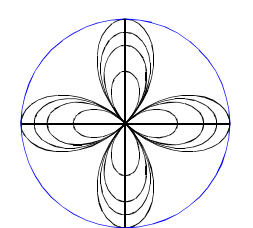
Mapeamento harmônico do **disco unitário** no interior do astróide:  $z\mapsto z+\overline{z}^3/3$ 

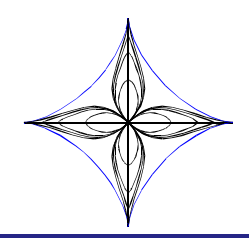


4 D > 4 A > 4 B > 4 B > B 9 9 9

Mapeamento harmônico do **disco unitário** no interior do astróide:  $z\mapsto z+\overline{z}^3/3$ 







Agora considere o espaço  $\mathbb{R}^3$  munido do produto escalar usual  $\cdot$  : Dizemos que uma aplicação

$$X: U \to \mathbb{R}^3$$
,  $z \mapsto X(z)$  é uma imersão conforme, se  $X_x \cdot X_y = 0$ ,  $X_x \cdot X_y = X_y \cdot X_y \neq 0$   $\forall z \in U$ 

Seja N a aplicação de Gauss Euclideana (normal unitário) definida por  $N = \frac{X_x \times X_y}{\|X_v \times X_v\|}$ . O símbolo  $\times$  refere-se ao produto vetorial de  $\mathbb{R}^3$ .

Superfícies  $\mathbb{S} = X(U)$  que minimizam área têm sido estudadas em vários contextos. Tais superfícies são mínimas: a curvatura média = semi-soma das curvaturas principais é nula (vamos ver explicação adiante).

Uma definição equivalente mais bem ajustada ao nosso enfoque é que a composta da aplicação normal de Gauss com a aplicação estereográfica  $\Pi$  do pólo norte da esfera unitária  $\mathbb{S}^2$  é uma função meromorfa; isto é  $\Pi \circ N := g$  é meromorfa.

Agora considere o espaço  $\,\mathbb{R}^3$  munido do produto escalar usual  $\cdot\,$  : Dizemos que uma aplicação

$$X: U \to \mathbb{R}^3$$
,  $z \mapsto X(z)$  é uma imersão conforme, se  $X_x \cdot X_y = 0$ ,  $X_x \cdot X_x = X_y \cdot X_y \neq 0$ ,  $\forall z \in U$ .

Seja N a aplicação de Gauss Euclideana (normal unitário) definida por  $N = \frac{X_x \times X_y}{\|X_x \times X_y\|}$ . O símbolo  $\times$  refere-se ao produto vetorial de  $\mathbb{R}^3$ .

Superfícies  $\mathbb{S}=X(U)$  que minimizam área têm sido estudadas em vários contextos. Tais superfícies são mínimas: a curvatura média = semi-soma das curvaturas principais é nula (vamos ver explicação adiante).

Uma definição equivalente mais bem ajustada ao nosso enfoque é que a composta da aplicação normal de Gauss com a aplicação estereográfica  $\Pi$  do pólo norte da esfera unitária  $\mathbb{S}^2$  é uma função meromorfa; isto é  $\Pi \circ N := g$  é meromorfa.

Agora considere o espaço  $\,\mathbb{R}^3$  munido do produto escalar usual  $\cdot\,$  : Dizemos que uma aplicação

$$X: U \to \mathbb{R}^3$$
,  $z \mapsto X(z)$  é uma imersão conforme, se  $X_x \cdot X_y = 0$ ,  $X_x \cdot X_x = X_y \cdot X_y \neq 0$ ,  $\forall z \in U$ .

Seja N a aplicação de Gauss Euclideana (normal unitário) definida por  $N = \frac{X_x \times X_y}{\|X_x \times X_y\|}$ . O símbolo  $\times$  refere-se ao produto vetorial de  $\mathbb{R}^3$ .

Superfícies  $\mathbb{S} = X(U)$  que minimizam área têm sido estudadas em vários contextos. Tais superfícies são mínimas: a curvatura média = semi-soma das curvaturas principais é nula (vamos ver explicação adiante).

Uma definição equivalente mais bem ajustada ao nosso enfoque é que a composta da aplicação normal de Gauss com a aplicação estereográfica  $\Pi$  do pólo norte da esfera unitária  $\mathbb{S}^2$  é uma função meromorfa; isto é  $\Pi \circ N := g$  é meromorfa.

◆ロ → ◆部 → ◆ き → ◆ き → り へ ()

Agora considere o espaço  $\,\mathbb{R}^3$  munido do produto escalar usual  $\cdot\,$  : Dizemos que uma aplicação

$$X: U \to \mathbb{R}^3$$
,  $z \mapsto X(z)$  é uma imersão conforme, se  $X_x \cdot X_y = 0$ ,  $X_x \cdot X_x = X_y \cdot X_y \neq 0$ ,  $\forall z \in U$ .

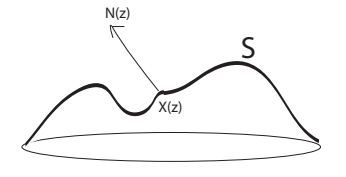
Seja N a aplicação de Gauss Euclideana (normal unitário) definida por  $N = \frac{X_x \times X_y}{\|X_x \times X_y\|}$ . O símbolo  $\times$  refere-se ao produto vetorial de  $\mathbb{R}^3$ .

Superfícies  $\mathbb{S}=X(U)$  que minimizam área têm sido estudadas em vários contextos. Tais superfícies são mínimas: a curvatura média = semi-soma das curvaturas principais é nula (vamos ver explicação adiante).

Uma definição equivalente mais bem ajustada ao nosso enfoque é que a composta da aplicação normal de Gauss com a aplicação estereográfica  $\Pi$  do pólo norte da esfera unitária  $\mathbb{S}^2$  é uma função meromorfa; isto é  $\Pi \circ N := g$  é meromorfa.

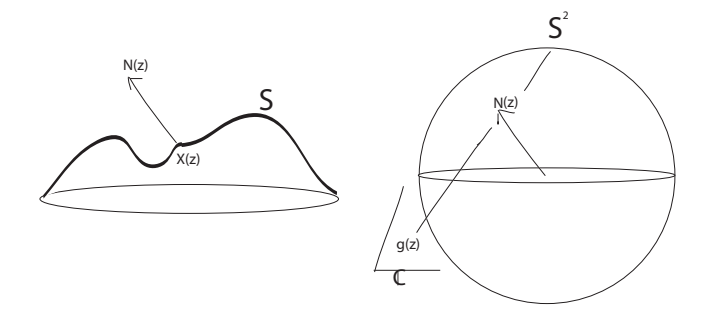
(4日) (部) (注) (注) 注 り(で)

## A aplicação normal de Gauss





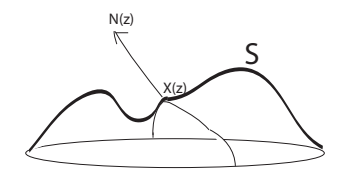
### A aplicação normal de Gauss







A curvatura média:  $H = \frac{k_1 + k_2}{2}$ ,  $k_1, k_2$  são as curvaturas principais. Mínima: H = 0



É possivel mostrar que

$$X:U\subset\mathbb{C}\to\mathbb{R}^3, \qquad w\in U\mapsto X(w)=(x_1(w),x_2(w),x_3(w))$$

**é uma imersão mínima conforme**  $\iff X_{w\overline{w}} = 0$ , ou seja as coordenadas  $x_1(w), x_2(w), x_3(w)$  são funções harmônicas da variável w.

Assim, é possível determinar uma imersão mínima conforme  $X(w) = (x_1(w), x_2(w), x_3(w))$ , em  $\mathbb{R}^3$  usando a famosa representação de Weierstrass (g(w), f(w) dw).

É preciso levar em conta que g(w) a aplicação normal de Gauss é meromorfa e que as coordenadas da imersão são funções harmônicas, fazendo *integração complexa* e lembrando que a parte real de uma função holomorfa é harmônica:

$$X(w) = \left(\Re \int_{w_0}^{w} \frac{(1-g^2)f}{2} dw, \Re i \int_{w_0}^{w} \frac{(1+g^2)f}{2} dw, \Re \int_{w_0}^{w} fg dw\right)$$

∢ロ > ←回 > ← 巨 > ← 巨 → □

É possivel mostrar que

$$X: U \subset \mathbb{C} \to \mathbb{R}^3$$
,  $w \in U \mapsto X(w) = (x_1(w), x_2(w), x_3(w))$  é uma imersão mínima conforme $\iff X_{w\overline{w}} = 0$ , ou seja as coordenadas  $x_1(w), x_2(w), x_3(w)$  são funções harmônicas da variável  $w$ .

Assim, é possível determinar uma imersão mínima conforme  $X(w) = (x_1(w), x_2(w), x_3(w))$ , em  $\mathbb{R}^3$  usando a famosa representação de Weierstrass (g(w), f(w) dw).

E preciso levar em conta que g(w) a aplicação normal de Gauss é meromorfa e que as coordenadas da imersão são funções harmônicas, fazendo *integração complexa* e lembrando que a parte real de uma função holomorfa é harmônica:

$$X(w) = \left(\Re \int_{w_0}^{w} \frac{(1-g^2)f}{2} dw, \Re i \int_{w_0}^{w} \frac{(1+g^2)f}{2} dw, \Re \int_{w_0}^{w} fg dw\right)$$

∢ロ > ←回 > ← 巨 > ← 巨 → □

É possivel mostrar que

$$X: U \subset \mathbb{C} \to \mathbb{R}^3$$
,  $w \in U \mapsto X(w) = (x_1(w), x_2(w), x_3(w))$  é uma imersão mínima conforme $\iff X_{w\overline{w}} = 0$ , ou seja as coordenadas  $x_1(w), x_2(w), x_3(w)$  são funções harmônicas da variável  $w$ .

Assim, é possível determinar uma imersão mínima conforme  $X(w) = (x_1(w), x_2(w), x_3(w))$ , em  $\mathbb{R}^3$  usando a famosa representação de Weierstrass  $(g(w), f(w) \, \mathrm{d} w)$ .

É preciso levar em conta que g(w) a aplicação normal de Gauss é meromorfa e que as coordenadas da imersão são funções harmônicas, fazendo *integração complexa* e lembrando que a parte real de uma função holomorfa é harmônica:

$$X(w) = \left(\Re \int_{w_0}^{w} \frac{(1-g^2)f}{2} dw, \Re i \int_{w_0}^{w} \frac{(1+g^2)f}{2} dw, \Re \int_{w_0}^{w} fg dw\right)$$

4 m > 4 m >

É possivel mostrar que

$$X: U \subset \mathbb{C} \to \mathbb{R}^3$$
,  $w \in U \mapsto X(w) = (x_1(w), x_2(w), x_3(w))$  é uma imersão mínima conforme $\iff X_{w\overline{w}} = 0$ , ou seja as coordenadas  $x_1(w), x_2(w), x_3(w)$  são funções harmônicas da variável  $w$ .

Assim, é possível determinar uma imersão mínima conforme  $X(w) = (x_1(w), x_2(w), x_3(w))$ , em  $\mathbb{R}^3$  usando a famosa representação de Weierstrass  $(g(w), f(w) \, \mathrm{d} w)$ .

É preciso levar em conta que g(w) a aplicação normal de Gauss é meromorfa e que as coordenadas da imersão são funções harmônicas, fazendo *integração complexa* e lembrando que a parte real de uma função holomorfa é harmônica:

$$X(w) = \left(\Re \int_{w_0}^{w} \frac{(1-g^2)f}{2} dw, \Re i \int_{w_0}^{w} \frac{(1+g^2)f}{2} dw, \Re \int_{w_0}^{w} fg dw\right)$$

4 m > 4 m >

É possivel mostrar que

$$X: U \subset \mathbb{C} \to \mathbb{R}^3$$
,  $w \in U \mapsto X(w) = (x_1(w), x_2(w), x_3(w))$  é uma imersão mínima conforme $\iff X_{w\overline{w}} = 0$ , ou seja as coordenadas  $x_1(w), x_2(w), x_3(w)$  são funções harmônicas da variável  $w$ .

Assim, é possível determinar uma imersão mínima conforme  $X(w) = (x_1(w), x_2(w), x_3(w))$ , em  $\mathbb{R}^3$  usando a famosa representação de Weierstrass  $(g(w), f(w) \, \mathrm{d} w)$ .

É preciso levar em conta que g(w) a aplicação normal de Gauss é meromorfa e que as coordenadas da imersão são funções harmônicas, fazendo *integração complexa* e lembrando que a parte real de uma função holomorfa é harmônica:

$$X(w) = \left(\Re \int_{w_0}^{w} \frac{(1-g^2)f}{2} dw, \Re i \int_{w_0}^{w} \frac{(1+g^2)f}{2} dw, \Re \int_{w_0}^{w} fg dw\right)$$

∢ロ > ←回 > ← 巨 > ← 巨 → □

A família catenóide-helicóide : Neste caso

 $U = \mathbb{C} \setminus \{0\}, g(w) = w, f(w) dw = e^{i\theta}/w^2 dw$ , quando  $\theta = 0$ , obtemos o catenóide  $X_0(w)$ , quando  $\theta = \pi/2$ , obtemos o helicóide  $X_{\pi/2}(w)$ :

Em geral  $X_{\theta}(w) = \cos \theta X_0(w) + \sin \theta X_{\pi/2}(w)$  devido a representação de Weierstrass dada por

$$X_{\theta} = \left(\Re \int_{1}^{w} \frac{\left(\frac{1}{\zeta^{2}} - 1\right)e^{i\theta}}{2} d\zeta, \Re i \int_{1}^{w} \frac{\left(\frac{1}{\zeta^{2}} + 1\right)e^{i\theta}}{2} d\zeta, \Re \int_{1}^{w} e^{i\theta}/\zeta d\zeta\right)$$

Tal família é constituída de superfícies isométricas e é chamada de associada. O catenóide é conjugado ao helicóide.

A metrica é dada por  $ds^2 = (1+1/|w|^2)^2 |\mathrm{d}w|^2/4|w|^4$  e não depende de  $\theta$ .

◆ロ → ← 回 → ← 巨 → 一豆 ・ 釣 へ (

A família catenóide-helicóide : Neste caso

 $U = \mathbb{C} \setminus \{0\}, g(w) = w, f(w) dw = e^{i\theta}/w^2 dw$ , quando  $\theta = 0$ , obtemos o catenóide  $X_0(w)$ , quando  $\theta = \pi/2$ , obtemos o helicóide  $X_{\pi/2}(w)$ :

Em geral  $X_{\theta}(w)=\cos\theta X_{0}(w)+\sin\theta X_{\pi/2}(w)$  devido a representação de Weierstrass dada por

$$X_{\theta} = \left(\Re \int_{1}^{w} \frac{(\frac{1}{\zeta^{2}} - 1)e^{i\theta}}{2} d\zeta, \Re i \int_{1}^{w} \frac{(\frac{1}{\zeta^{2}} + 1)e^{i\theta}}{2} d\zeta, \Re \int_{1}^{w} e^{i\theta} / \zeta d\zeta\right)$$

Tal família é constituída de superfícies isométricas e é chamada de associada. O catenóide é conjugado ao helicóide.

A metrica é dada por  $ds^2 = (1+1/|w|^2)^2 |\mathrm{d}w|^2/4|w|^4$  e não depende de  $\theta$ .

A família catenóide-helicóide : Neste caso

 $U = \mathbb{C} \setminus \{0\}, g(w) = w, f(w) dw = e^{i\theta}/w^2 dw$ , quando  $\theta = 0$ , obtemos o catenóide  $X_0(w)$ , quando  $\theta = \pi/2$ , obtemos o helicóide  $X_{\pi/2}(w)$ :

Em geral  $X_{\theta}(w) = \cos \theta X_0(w) + \sin \theta X_{\pi/2}(w)$  devido a representação de Weierstrass dada por

$$X_{\theta} = \left(\Re \int_{1}^{w} \frac{\left(\frac{1}{\zeta^{2}} - 1\right)e^{i\theta}}{2} d\zeta, \Re i \int_{1}^{w} \frac{\left(\frac{1}{\zeta^{2}} + 1\right)e^{i\theta}}{2} d\zeta, \Re \int_{1}^{w} e^{i\theta}/\zeta d\zeta\right)$$

Tal família é constituída de superfícies isométricas e é chamada de associada. O catenóide é conjugado ao helicóide.

A metrica é dada por  $ds^2 = (1+1/|w|^2)^2 |\mathrm{d}w|^2/4|w|^4$  e não depende de  $\theta$ .

A família catenóide-helicóide : Neste caso

 $U = \mathbb{C} \setminus \{0\}, g(w) = w, f(w) dw = e^{i\theta}/w^2 dw$ , quando  $\theta = 0$ , obtemos o catenóide  $X_0(w)$ , quando  $\theta = \pi/2$ , obtemos o helicóide  $X_{\pi/2}(w)$ :

Em geral  $X_{\theta}(w) = \cos \theta X_0(w) + \sin \theta X_{\pi/2}(w)$  devido a representação de Weierstrass dada por

$$X_{\theta} = \left(\Re \int_{1}^{w} \frac{(\frac{1}{\zeta^{2}} - 1)e^{i\theta}}{2} d\zeta, \Re i \int_{1}^{w} \frac{(\frac{1}{\zeta^{2}} + 1)e^{i\theta}}{2} d\zeta, \Re \int_{1}^{w} e^{i\theta} / \zeta d\zeta\right)$$

Tal família é constituída de superfícies isométricas e é chamada de associada. O catenóide é conjugado ao helicóide.

A metrica é dada por  $ds^2 = (1+1/|w|^2)^2 |\mathrm{d}w|^2/4|w|^4$  e não depende de  $\theta$ .



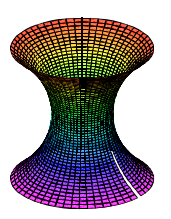
#### A família mínima associada (isométrica) catenóide-helicóide

#### O catenóide



4 D > 4 B > 4 B > 3 P 9 Q Q

#### A família catenóide-helicóide





◆□ ト ◆ 部 ト ◆ 差 ト 差 → 今 (や) PUC-RIO

Ricardo Sá Earp

#### A família catenóide-helicóide







**≣** •99(0+

#### O helicóide



(4日) (部) (注) (注) 注 り(で)

A equação da superfície mínima satisfeita por uma função z=u(x,y) definida num aberto U é uma E.D.P. quasilinear elíptica de segunda ordem dada por

$$(1 + u_x^2)u_{yy} - 2u_xu_yu_{xy} + (1 + u_y^2)u_{xx} = 0$$

O famoso teorema de Bernstein do início do século 20, diz que uma solução z = u(x, y) da equação da superfície mínima, definida para todos os valores das variáveis x, y é linear, ou seja o gráfico de u é um plano de  $\mathbb{R}^3$ .

Um outro approach para a dedução do mesmo resultado usa o fato que a aplicação normal de Gauss g(z) é meromorfa.

O teorema de Rado diz que dada uma curva retificável C de  $\mathbb{R}^3$  que se projeta um a um no plano xy, sobre uma curva convexa, existe uma solução z = u(x,y) da eq. da sup. m(m) da que o bordo do gráfico de u é a curva C

A equação da superfície mínima satisfeita por uma função z=u(x,y) definida num aberto U é uma E.D.P. quasilinear elíptica de segunda ordem dada por

$$(1 + u_x^2)u_{yy} - 2u_xu_yu_{xy} + (1 + u_y^2)u_{xx} = 0$$

O famoso teorema de Bernstein do início do século 20, diz que uma solução z = u(x, y) da equação da superfície mínima, definida para todos os valores das variáveis x, y é linear, ou seja o gráfico de u é um plano de  $\mathbb{R}^3$ .

Um outro approach para a dedução do mesmo resultado usa o fato que a aplicação normal de Gauss g(z) é meromorfa.

O teorema de Rado diz que dada uma curva retificável C de  $\mathbb{R}^3$  que se projeta um a um no plano xy, sobre uma curva convexa, existe uma solução z = u(x,y) da eq. da sup. m(nima, tal que o bordo do gráfico de u é a curva C.

A equação da superfície mínima satisfeita por uma função z=u(x,y) definida num aberto U é uma E.D.P. quasilinear elíptica de segunda ordem dada por

$$(1 + u_x^2)u_{yy} - 2u_xu_yu_{xy} + (1 + u_y^2)u_{xx} = 0$$

O famoso teorema de Bernstein do início do século 20, diz que uma solução z=u(x,y) da equação da superfície mínima, definida para todos os valores das variáveis x,y é linear, ou seja o gráfico de u é um plano de  $\mathbb{R}^3$ .

Um outro approach para a dedução do mesmo resultado usa o fato que a aplicação normal de Gauss g(z) é meromorfa.

O teorema de Rado diz que dada uma curva retificável C de  $\mathbb{R}^3$  que se projeta um a um no plano xy, sobre uma curva convexa, existe uma solução z = u(x,y) da eq. da sup. m(m) da que o bordo do gráfico de u é a curva C

A equação da superfície mínima satisfeita por uma função z=u(x,y) definida num aberto U é uma E.D.P. quasilinear elíptica de segunda ordem dada por

$$(1 + u_x^2)u_{yy} - 2u_xu_yu_{xy} + (1 + u_y^2)u_{xx} = 0$$

O famoso teorema de Bernstein do início do século 20, diz que uma solução z = u(x, y) da equação da superfície mínima, definida para todos os valores das variáveis x, y é linear, ou seja o gráfico de u é um plano de  $\mathbb{R}^3$ .

Um outro approach para a dedução do mesmo resultado usa o fato que a aplicação normal de Gauss g(z) é meromorfa.

O teorema de Rado diz que dada uma curva retificável C de  $\mathbb{R}^3$  que se projeta um a um no plano xy, sobre uma curva convexa, existe uma solução z=u(x,y) da eq. da sup. mínima, tal que o bordo do gráfico de u é a curva C.

#### A superfície de Scherk

Das variáveis complexas rumo às superfícies mínimas

 Estudando a equação da superfície mínima, Scherk nos meados do século 18, usando o método das separação das variáveis, encontrou sua famosa superfície dada por

$$z = \log \frac{\cos y}{\cos x}, \qquad |x| < \pi/2, \, |y| < \pi/2$$

Exercício: Intua uma solução da equação da superfície mínima da forma z = f(x) + g(y), substitua na equação da superfície mínima, e obtenha Scherk!!, usando as técnicas de cálculo IV-equações diferenciais elementares.

#### A superfície de Scherk

Estudando a equação da superfície mínima, Scherk nos meados do século 18, usando o método das separação das variáveis, encontrou sua famosa superfície dada por

$$z = \log \frac{\cos y}{\cos x}, \qquad |x| < \pi/2, \, |y| < \pi/2$$

Exercício: Intua uma solução da equação da superfície mínima da forma z = f(x) + g(y), substitua na equação da superfície mínima, e obtenha Scherk!!, usando as técnicas de cálculo IV-equações diferenciais elementares.

#### A superfície de Scherk

Estudando a equação da superfície mínima, Scherk nos meados do século 18, usando o método das separação das variáveis, encontrou sua famosa superfície dada por

$$z = \log \frac{\cos y}{\cos x}, \qquad |x| < \pi/2, \, |y| < \pi/2$$

Exercício: Intua uma solução da equação da superfície mínima da forma z = f(x) + g(y), substitua na equação da superfície mínima, e obtenha Scherk!!, usando as técnicas de cálculo IV-equações diferenciais elementares.

### Scherk







Parte de Scherk minimiza área dentre as superfícies que têm o mesmo contorno.









Parte de Scherk minimiza área dentre as superfícies que têm o mesmo contorno.







# O que acontece em outros espaços tridimensionais ?

Visando tal entendimento, vamos estudar um pouco melhor a geometria hiperbólica, ou seja; estudar a geometria de  $\mathbb{H}^2$ .

Existe um outro modelo da geometria hiperbólica que é o modelo do disco de Poincaré  $u^2 + v^2 < 1$  munido da métrica

$$ds^2 = \frac{4(du^2 + dv^2)}{(1 - u^2 - v^2)^2}$$

A isometria positiva ou mapeamento conforme que leva o modelo do semi-plano z:=x+iy no modelo de disco w:=u+iv é dada pela aplicação de Möbius

$$w = T(z) = \frac{z - i}{z + i}$$

## O que acontece em outros espaços tridimensionais ?

Visando tal entendimento, vamos estudar um pouco melhor a geometria hiperbólica, ou seja; estudar a geometria de  $\mathbb{H}^2$ .

Existe um outro modelo da geometria hiperbólica que é o modelo do disco de Poincaré  $u^2 + v^2 < 1$  munido da métrica

$$ds^2 = \frac{4(du^2 + dv^2)}{(1 - u^2 - v^2)^2}$$

A isometria positiva ou mapeamento conforme que leva o modelo do semi-plano z:=x+iy no modelo de disco w:=u+iv é dada pela aplicação de Möbius

$$w = T(z) = \frac{z - i}{z + i}$$

(ロ) (部) (注) (注) 注 の(()

# O que acontece em outros espaços tridimensionais ?

Visando tal entendimento, vamos estudar um pouco melhor a geometria hiperbólica, ou seja; estudar a geometria de  $\mathbb{H}^2$ .

Existe um outro modelo da geometria hiperbólica que é o modelo do disco de Poincaré  $u^2 + v^2 < 1$  munido da métrica

$$ds^2 = \frac{4(du^2 + dv^2)}{(1 - u^2 - v^2)^2}$$

A isometria positiva ou mapeamento conforme que leva o modelo do semi-plano z := x + iy no modelo de disco w := u + iv é dada pela aplicação de Möbius

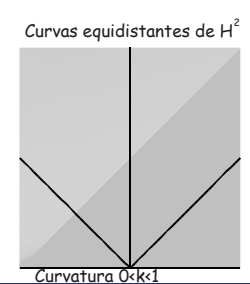
$$w = T(z) = \frac{z - i}{z + i}$$



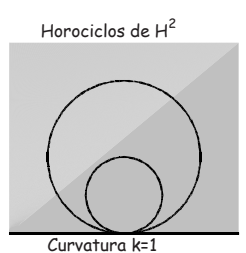
### Geodésicas do plano hiperbólico



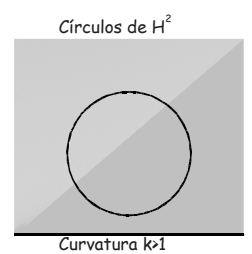
### Curvas equidistantes de uma geodésica do plano hiperbólico



#### Horociclos do plano hiperbólico



#### Círculos do plano hiperbólico



Seja 
$$\mathbb{H}^3=\{(u,v,w)\in\mathbb{R}^3;\quad w>0\}$$
 munido da métrica  $\frac{1}{w^2}(\mathrm{d}\,u^2+\mathrm{d}\,v^2+\mathrm{d}\,w^2)$ 

As superfícies totalmente umbílicas de  $\mathbb{H}^3$  são as seguintes:

- ▶ Os planos totalmente geodésicos. Estes são os semi-planos verticais e as semi-esferas ortogonais à  $\{w = 0\}$ .
- ► As esferas hiperbólicas. São também esferas Euclideanas inteiramente contidas em H³.
- As horosferas. As horosferas são as esferas Euclideanas tangente à  $\{w=0\}$  e os planos Euclideanos horizontais.
- As superfícies equidistantes. Estas são o lugar dos pontos que estão a uma mesma distância de um plano totalmente geodésico fixado. Tais superfícies são semi-planos inclinados e calotas esféricas que fazem um ângulo  $0 < \phi < \pi/2$  com  $\{w = 0\}$ .

4□ > 4回 > 4 = > 4 = > = 9 < 0</p>

Seja 
$$\mathbb{H}^3=\{(u,v,w)\in\mathbb{R}^3;\quad w>0\}$$
 munido da métrica  $\frac{1}{w^2}\left(\mathrm{d}\,u^2+\mathrm{d}\,v^2+\mathrm{d}\,w^2\right)$ 

# As superfícies totalmente umbílicas de $\mathbb{H}^3$ são as seguintes:

- ▶ Os planos totalmente geodésicos. Estes são os semi-planos verticais e as semi-esferas ortogonais à  $\{w = 0\}$ .
- ► As esferas hiperbólicas. São também esferas Euclideanas inteiramente contidas em H³.
- As horosferas. As horosferas são as esferas Euclideanas tangente à  $\{w=0\}$  e os planos Euclideanos horizontais.
- As superfícies equidistantes. Estas são o lugar dos pontos que estão a uma mesma distância de um plano totalmente geodésico fixado. Tais superfícies são semi-planos inclinados e calotas esféricas que fazem um ângulo  $0 < \phi < \pi/2$  com  $\{w = 0\}$ .

4□ > 4回 > 4 = > 4 = > = 9 < 0</p>

Seja 
$$\mathbb{H}^3=\{(u,v,w)\in\mathbb{R}^3;\quad w>0\}$$
 munido da métrica  $\frac{1}{w^2}\left(\mathrm{d}\,u^2+\mathrm{d}\,v^2+\mathrm{d}\,w^2\right)$ 

# As superfícies totalmente umbílicas de $\mathbb{H}^3$ são as seguintes:

- ▶ Os planos totalmente geodésicos. Estes são os semi-planos verticais e as semi-esferas ortogonais à  $\{w = 0\}$ .
- ► As esferas hiperbólicas. São também esferas Euclideanas inteiramente contidas em H³.
- As horosferas. As horosferas são as esferas Euclideanas tangente à  $\{w=0\}$  e os planos Euclideanos horizontais.
- As superfícies equidistantes. Estas são o lugar dos pontos que estão a uma mesma distância de um plano totalmente geodésico fixado. Tais superfícies são semi-planos inclinados e calotas esféricas que fazem um ângulo  $0 < \phi < \pi/2$  com  $\{w = 0\}$ .

4□ > 4回 > 4 回 > 4

Seja 
$$\mathbb{H}^3=\{(u,v,w)\in\mathbb{R}^3;\quad w>0\}$$
 munido da métrica  $\frac{1}{w^2}\left(\mathrm{d}\,u^2+\mathrm{d}\,v^2+\mathrm{d}\,w^2\right)$ 

As superfícies totalmente umbílicas de  $\mathbb{H}^3$  são as seguintes:

- ▶ Os planos totalmente geodésicos. Estes são os semi-planos verticais e as semi-esferas ortogonais à  $\{w = 0\}$ .
- As horosferas. As horosferas são as esferas Euclideanas tangente à  $\{w=0\}$  e os planos Euclideanos horizontais.
- As superfícies equidistantes. Estas são o lugar dos pontos que estão a uma mesma distância de um plano totalmente geodésico fixado. Tais superfícies são semi-planos inclinados e calotas esféricas que fazem um ângulo  $0 < \phi < \pi/2$  com  $\{w = 0\}$ .

<ロ > → □ → → □ → → □ → つへ(

Seja 
$$\mathbb{H}^3=\{(u,v,w)\in\mathbb{R}^3;\quad w>0\}$$
 munido da métrica  $\frac{1}{w^2}\left(\mathrm{d}\,u^2+\mathrm{d}\,v^2+\mathrm{d}\,w^2\right)$ 

As superfícies totalmente umbílicas de  $\mathbb{H}^3$  são as seguintes:

- ▶ Os planos totalmente geodésicos. Estes são os semi-planos verticais e as semi-esferas ortogonais à  $\{w = 0\}$ .
- As horosferas. As horosferas são as esferas Euclideanas tangente à  $\{w=0\}$  e os planos Euclideanos horizontais.
- As superfícies equidistantes. Estas são o lugar dos pontos que estão a uma mesma distância de um plano totalmente geodésico fixado. Tais superfícies são semi-planos inclinados e calotas esféricas que fazem um ângulo  $0 < \phi < \pi/2$  com  $\{w = 0\}$ .

<ロ > (回 > (回 > ( 回 > ( 回 ) ) ( 回 ) ( ص ) ( \square )

Seja 
$$\mathbb{H}^3=\{(u,v,w)\in\mathbb{R}^3;\quad w>0\}$$
 munido da métrica  $\frac{1}{w^2}(\mathrm{d} u^2+\mathrm{d} v^2+\mathrm{d} w^2)$ 

As superfícies totalmente umbílicas de  $\mathbb{H}^3$  são as seguintes:

- ▶ Os planos totalmente geodésicos. Estes são os semi-planos verticais e as semi-esferas ortogonais à  $\{w = 0\}$ .
- ► As esferas hiperbólicas. São também esferas Euclideanas inteiramente contidas em H³.
- As horosferas. As horosferas são as esferas Euclideanas tangente à  $\{w=0\}$  e os planos Euclideanos horizontais.
- As superfícies equidistantes. Estas são o lugar dos pontos que estão a uma mesma distância de um plano totalmente geodésico fixado. Tais superfícies são semi-planos inclinados e calotas esféricas que fazem um ângulo  $0 < \phi < \pi/2$  com  $\{w = 0\}$ .

< ㅁ > < 률 > < 불 > < 불 > 이익(

PLIC-RIO

Ricardo Sá Earp

## Primas em $\mathbb{H}^3$ das superfícies mínimas de $\mathbb{R}^3$

Agora gostaríamos de realçar a ligação entre as superfícies mínimas de  $\mathbb{R}^3$  e suas primas em  $\mathbb{H}^3$ : Dada uma imersão conforme mínima  $X:U\subset\mathbb{C}\to\mathbb{R}^3$ , de um domínio simplesmente conexo U em  $\mathbb{R}^3$ , segue de certo resultado fundamental da geometria, que podemos associar uma imersão conforme de curvatura média  $\mathbf{1}$  em  $\mathbb{H}^3$  (isométrica à mínima em  $\mathbb{R}^3$ ); e vice-versa

Um fato surpreendente é que a superfície associada no espaço hiperbólico tridimensional  $\mathbb{H}^3$  a certo catenóide de  $\mathbb{R}^3$  é uma superfície invariante por translações Euclideanas horizontais, cuja curva geradora já tinha sido estudada por Poleni em 1729. Tal curva é conhecida como courbe des forçats.

## Primas em $\mathbb{H}^3$ das superfícies mínimas de $\mathbb{R}^3$

Agora gostaríamos de realçar a ligação entre as superfícies mínimas de  $\mathbb{R}^3$  e suas primas em  $\mathbb{H}^3$ : Dada uma imersão conforme mínima  $X:U\subset\mathbb{C}\to\mathbb{R}^3$ , de um domínio simplesmente conexo U em  $\mathbb{R}^3$ , segue de certo resultado fundamental da geometria, que podemos associar uma imersão conforme de curvatura média 1 em  $\mathbb{H}^3$  (isométrica à mínima em  $\mathbb{R}^3$ ); e vice-versa

Um fato surpreendente é que a superfície associada no espaço hiperbólico tridimensional  $\mathbb{H}^3$  a certo catenóide de  $\mathbb{R}^3$  é uma superfície invariante por translações Euclideanas horizontais, cuja curva geradora já tinha sido estudada por Poleni em 1729. Tal curva é conhecida como courbe des forçats.

<ロ > ←回 > ←回 > ← E > ・ E ・ りへ()

Primas em  $\mathbb{H}^3$  das superfícies mínimas de  $\mathbb{R}^3$ 

Agora gostaríamos de realçar a ligação entre as superfícies mínimas de  $\mathbb{R}^3$  e suas primas em  $\mathbb{H}^3$ : Dada uma imersão conforme mínima  $X:U\subset\mathbb{C}\to\mathbb{R}^3$ , de um domínio simplesmente conexo U em  $\mathbb{R}^3$ , segue de certo resultado fundamental da geometria, que podemos associar uma imersão conforme de curvatura média 1 em  $\mathbb{H}^3$  (isométrica à mínima em  $\mathbb{R}^3$ ); e vice-versa

Um fato surpreendente é que a superfície associada no espaço hiperbólico tridimensional  $\mathbb{H}^3$  a certo catenóide de  $\mathbb{R}^3$  é uma superfície invariante por translações Euclideanas horizontais, cuja curva geradora já tinha sido estudada por Poleni em 1729. Tal curva é conhecida como courbe des forçats.

<ロ > ←回 > ←回 > ← 巨 > 一豆 = 一 の へ ⊙

A curva de Poleni  $u = s - 2 \tanh s$ ,  $w = 2/\cosh s$ , e a prima do catenóide em  $\mathbb{H}^3$ 



A curva de Poleni  $u = s - 2 \tanh s$ ,  $w = 2/\cosh s$ , e a prima do catenóide em  $\mathbb{H}^3$ 



